

## カスプの形成に伴う海浜変形特性

高知大学農学部 正員 王 井 佐 一

### 1. まえがき

海浜変形については、波浪の直接作用による汀線と直角方向の砂移動のほかに、波浪によって引き起される沿岸流等による沿岸方向の漂砂が重要な要素ともいわれる。筆者は二二数年、<sup>(1)(2)(3)</sup> 海浜カスプの形状特性やその形成機構について実験および実際海岸の調査を通じ検討してきた。その中でカスプの形成と弧状砂州との対応などについて興味ある結果を得たが、今回はカスプの形成による海浜変形特性について検討したので報告する。

### 2. 実験設備および実験方法

実験には長さ20m、幅10m、水深50cmの平面波浪水槽を用いた。この水槽の一端に中央粒径  $d_{50} = 0.28\text{ mm}$  の自然砂によつて勾配  $i_0 = 1/10$ 、 $i_0$  および  $i_0/2$  の海浜斜面を作り、波が汀線に直角に入射する場合と  $i_0 = 1/10$  の場合につけでは汀線に対して  $\alpha = 60^\circ$  および  $50^\circ$  の斜め入射波に対する実験を行った。実験波としては周期  $T = 0.8 \sim 2.2\text{ sec}$ 、波高  $H = 1.3 \sim 10.7\text{ cm}$ 、冲波波形勾配  $H/L = 0.004 \sim 0.061$  の範囲とした。入射波は抵抗率較高計によつて測定し、また地形変化は造波30min または1hr毎に砂面測定器を用いて測定した。

### 3. 実験結果とその考察

海浜の初期勾配  $i_0 = 1/10$  および  $i_0/2$  における平面的海浜変形の代表例を図-1 および図-2 に示す。図-1においては前浜部に堆積による 3 リスミカルな beach cusp が形成されたおり、これは斜面として沖側距離 70cm 附近、水深  $-8 \sim -12\text{ cm}$  に波状地形、すなはち弧状沿岸砂州が見られる。一方図-2 においては汀線の大きな波状性が代表される large cusp が形成されており、特にこれに沿う funnel が見られるとともに bay 沖距離 40cm および  $1.4^\circ$  付近に弧状砂州が形成される。さて apex では堆積による汀線の前進が、また bay では侵食による汀線の後退が生じてあり、従来の二次元実験のように、单一測断面によつて海浜の侵食・堆積を規定することはできない。さてこのようないカスプの apex および bay の維持形態について、距離  $x$  と冲波波長  $L_o$  の比を横軸に、水深  $h$  と  $L_o$  の比を縦軸にとったものが、図-3 および図-4 である。図-3 は図-1 の beach cusp が形成された場合で、図-4 はカルホルニア大学および筑波大にによる実験結果を併記した。また図-4 は図-2 の large cusp が形成された場合であり、図には海岸構造物による二次元実験結果を併記した。

実験における使用を復かせる波特性が若干異なつか、 $i_0 = 1/10$  の beach cusp の形成が小さく場合(図-3)には bay の位置にあり、かつも汀線付近  $x/L_o = -0.02 \sim 0.1$  のカルホルニア大学の実験結果と比較的よく似た傾向を示すが、 $i_0 = 1/20$  の case では明らかくなつた。一方 apex では上記と同じ範囲内に岸垣構築の結果と同様形態を示していふ。図-4 では bay の位置で、汀線は  $x/L_o = 0.03$  の範囲内に海岸の実験結果と比較的合つたが、 $x/L_o > 0.03$  すなはち前浜上部では維持形態は大いに異なつておかず、これは本実験のところ、三次元実験における海浜地形の形成が沿岸方向の流出に支配され、それも large cusp が形成された場合、しかも沿岸方向の砂移動によつて海浜地形の形成が顕著であることを示すからである。一方図-3 は  $i_0 = 1/10$  の比較的急勾配海浜の beach cusp が形成された場合である、2 bay または apex で  $i_0 = 1/20$  の場合と、汀線に直角方向の砂移動が強くなる結果の大差が、範囲内における二次元実験結果に類似していることがわかる。さてこのようないカスプの形成特性について

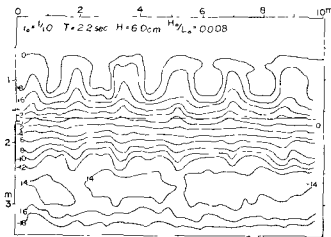


図-1

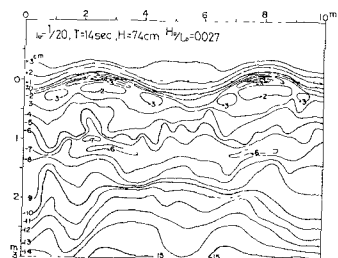


図-2

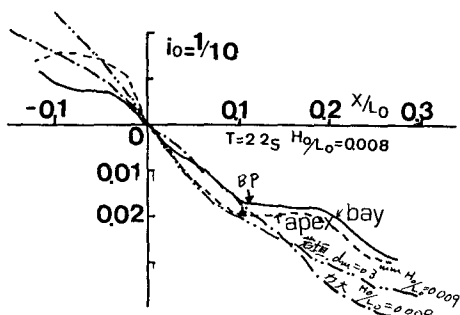


図-3

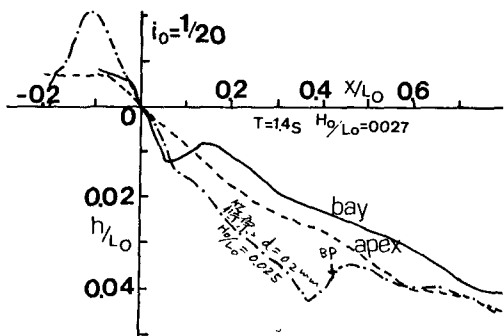


図-4

2. 江線の前進、後退に着目して整理したのが図-5である。

図は縦軸に bay の江線の前進、後退 \$b\_w\$ 初期江線を基準に示す。左側 \$i\_0\$ である。横軸には、

Battjes が提案した In-barren NO (Surf Similarity parameter) \$i\_0/(H\_0/L\_0)^{1/2}\$ をとる。

左側、二点 \$(i\_0=1/10, i\_0=1/15)\$ は \$i\_0/(H\_0/L\_0)^{1/2} < 1.0\$ における bay の侵食: \$b\_w/H\_0\$ の値を示す。

\$i\_0=1/15\$ の \$i\_0/(H\_0/L\_0)^{1/2} < 0.6\$ は \$b\_w/H\_0 > 0.6\$ である。

\$i\_0=1/20\$ の \$i\_0/(H\_0/L\_0)^{1/2} < 0.4\$ は \$b\_w/H\_0 < 0.4\$ である。

右側 \$i\_0/(H\_0/L\_0)^{1/2} > 1.0\$ における bay の侵食: \$b\_w/H\_0\$ の値を示す。

図-5. 以下の斜め入射波における結果を二つの程度の入射角 (\$\alpha=60^\circ, 70^\circ\$) と水平直角入射波との差を示す。

図中 \$\bullet\$ は田中新作の二次元実験結果である。\$\circ\$ は合計二十九か所 (\$d\_{50}=0.178mm\$) 次に図-6 は江線

8. 沖洲頂部までの距離 \$y\_b\$ と \$L\_0\$ との比 \$y\_b/L\_0\$ の縦軸に、

横軸に \$H\_0/L\_0\$ を示す。表示した \$H\_0/L\_0=0.023 \sim 0.025\$ の範囲内に

5段の砂州が形成される。また \$y\_b/L\_0\$ は \$H\_0/L\_0\$ の増大とともに大きくなる。

二の \$8\$ の模倣例は \$i\_0=1/10\$ および \$i\_0=1/15\$ の場合にあつても同じく \$H\_0/L\_0\$ の増大とともに \$y\_b/L\_0\$ は大きくなるが、海浜勾配が大きい程、\$y\_b/L\_0\$ は小さい、

また多段砂州の発生が少ない。( \$\alpha=90^\circ, 150^\circ\$ の場合) 図-6

4 が示す。

\$d\_{50}=0.87mm\$ と用いた実験を行ったが、二点の結果は次回に収載する予定である。

参考文献: (1), (2), (3) 五井・第 21, 22, 23 回土壤会議論文集  
昭和 49, 50, 51 年

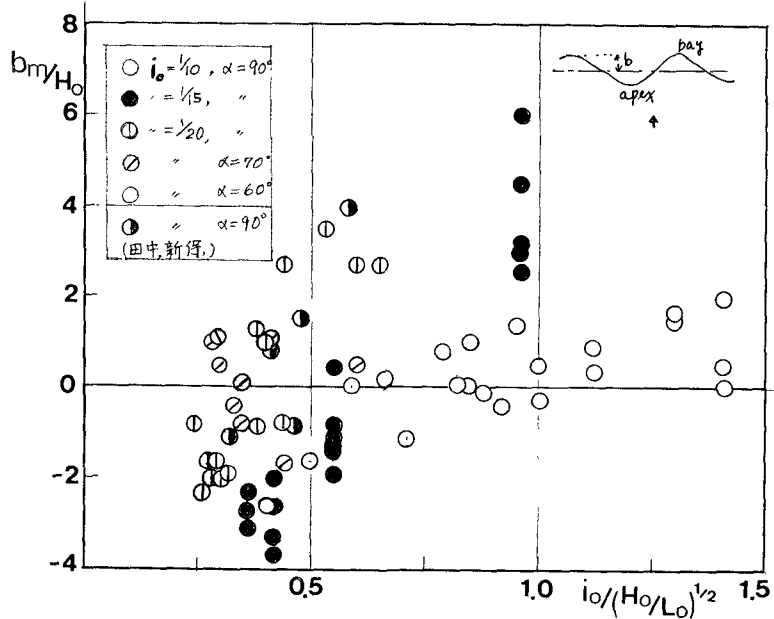


図-5

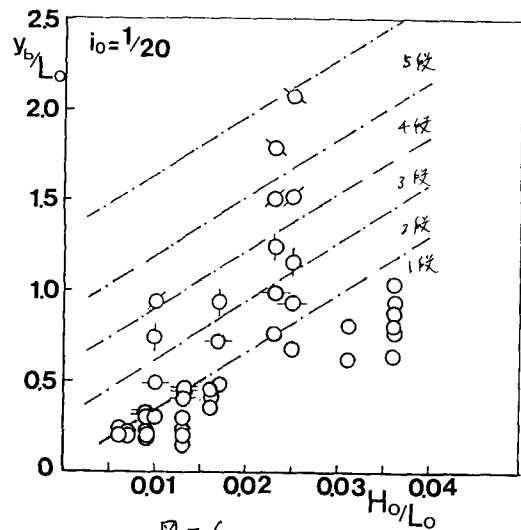


図-6